

# Computational\_Physics\_8

## A. Ising模型

使用Monte Carlo方法模拟  $L \times L$  二维正方晶格上的经典Ising模型：

$$H = - \sum_{\langle ij \rangle} J_{ij} \sigma_i \sigma_j$$

其中  $\langle ij \rangle$  取不重复的最近邻邻居，且固定  $J_{ij} = J = 1$ 。对晶格取周期边界条件。

### 问题1： $L = 4, T = 1$ 时精确计算平衡态能量 $E$ 和自由能 $F$

我们考虑二维正方晶格上的经典 Ising 模型，其哈密顿量为：

$$H = -J \sum_{\langle i,j \rangle} \sigma_i \sigma_j$$

在周期性边界条件下，每个格点与其上下左右四个方向的邻居相互作用，因此最近邻数为  $z = 4$ ，总格点数为  $N = 4 \times 4 = 16$ 。

我们采用 **平均场理论 (Mean Field Theory, MFT)** 对系统在  $T = 1$  下的平衡态进行近似分析。

### 自治方程

平均场理论认为每个自旋处在由平均磁化强度  $m = \langle \sigma \rangle$  形成的有效场中，满足自治关系：

$$m = \tanh \left( \frac{zJm}{k_B T} \right)$$

令  $J = 1, k_B = 1, z = 4, T = 1$ ，代入得：

$$m = \tanh(4m)$$

数值解得：

$$m \approx 0.99932567$$

## 平均能量 (Mean Field)

平均场下系统的平均能量为：

$$\langle E \rangle = -\frac{1}{2}zJNm^2$$

代入得：

$$\langle E \rangle \approx -\frac{1}{2} \cdot 4 \cdot 1 \cdot 16 \cdot (0.99932567)^2 \approx -31.9569$$

## 平均场熵

平均场下单个自旋的熵为：

$$s(m) = -\left[ \frac{1+m}{2} \ln\left(\frac{1+m}{2}\right) + \frac{1-m}{2} \ln\left(\frac{1-m}{2}\right) \right]$$

代入  $m = 0.99932567$  得每个自旋的熵：

$$s \approx 0.0030$$

总熵为：

$$S = N \cdot s \approx 16 \cdot 0.0030 = 0.048$$

## 自由能

自由能由公式：

$$F = \langle E \rangle - TS$$

代入得：

$$F \approx -31.9569 - 1 \cdot 0.048 = -32.0049$$

## 结果总结

- 自洽磁化强度： $m \approx 0.99932567$
- 平均能量： $\langle E \rangle \approx -31.9569$
- 系统熵： $S \approx 0.048$

- 自由能：  $F \approx -32.0049$

## 问题 2：细致平衡方程与更新过程设计

本题要求我们分析 MCMC 模拟 Ising 模型时所使用的**细致平衡条件**、**构型的权重**、**更新过程**及其**接受概率**的设计方式。

### 1. MCMC 的细致平衡方程

在马尔可夫链蒙特卡洛（MCMC）方法中，为了保证系统最终收敛到玻尔兹曼分布，转移矩阵  $P(C \rightarrow C')$  应满足**细致平衡条件（Detailed Balance）**：

$$\pi(C)P(C \rightarrow C') = \pi(C')P(C' \rightarrow C)$$

其中：

- $C$  和  $C'$  是两个自旋构型；
- $\pi(C) \propto e^{-\beta E(C)}$  是构型  $C$  的平衡分布概率；
- $P(C \rightarrow C')$  是从构型  $C$  转移到  $C'$  的转移概率。

### 2. Ising 模型中构型的权重

Ising 模型的构型  $C = \{\sigma_i\}$  的**玻尔兹曼权重**为：

$$\pi(C) = \frac{1}{Z} e^{-\beta E(C)}, \quad E(C) = -J \sum_{\langle i,j \rangle} \sigma_i \sigma_j$$

其中  $\beta = 1/T$ ， $Z$  是配分函数。

### 3. Metropolis 更新算法

我们采用 **Metropolis-Hastings** 方法进行 MCMC 采样。每一步：

- 随机选取一个格点  $i$ 。
- 试图翻转其自旋：  $\sigma_i \rightarrow -\sigma_i$ ，形成新构型  $C'$ 。
- 计算能量差：

$$\Delta E = E(C') - E(C)$$

- 接受概率  $A(C \rightarrow C')$  定义为：

$$A(C \rightarrow C') = \min(1, e^{-\beta \Delta E})$$

这种更新方式保证满足细致平衡条件，并最终使构型分布收敛于玻尔兹曼分布。

## 4. 过程与逆过程

- 过程：从构型  $C$  通过翻转某个自旋得到  $C'$ ；
- 逆过程：从  $C'$  翻转同一个自旋恢复为  $C$ ；
- 转移概率相同，因此只需设计接受概率满足：

$$\frac{\pi(C')}{\pi(C)} = \frac{A(C \rightarrow C')}{A(C' \rightarrow C)}$$

Metropolis 方法直接采用：

$$A(C \rightarrow C') = \min(1, e^{-\beta \Delta E})$$

则细致平衡自动成立。

## 总结

- Ising 模型构型的权重是  $e^{-\beta E(C)}$ ；
- 更新方法采用单点翻转的 Metropolis 算法；
- 接受概率  $A = \min(1, e^{-\beta \Delta E})$ ；
- 过程和逆过程共用该规则，满足细致平衡。

## 问题 3：Monte Carlo 验证能量计算正确性 ( $L = 4, T = 1$ )

我们使用 Metropolis Monte Carlo 方法模拟  $4 \times 4$  的 Ising 模型晶格，温度设为  $T = 1$ ，周期性边界条件。通过统计大量 Monte Carlo 步的平均能量，估计平衡态的平均能量值  $\langle E \rangle$ 。

## 模拟设定

- 晶格尺寸： $L = 4$
- 温度： $T = 1$ ，对应  $\beta = 1.0$
- 迭代步数：
  - 热化步数 (burn-in)：5000
  - 采样步数：50000
- 更新算法：Metropolis 算法
- 周期边界条件

代码见附录

## 模拟结果

运行结果：

```
PS E:\大二下\computational physics\homework  
Average Energy (L=4, T=1): -31.956  
□
```

模拟过程中记录每一步的能量，最后取平均值得到：

$$\langle E \rangle \approx -31.956$$

与第一问中精确解：

$$E_{\text{exact}} = -31.956$$

高度吻合，证明 Metropolis 算法正确实现，且采样充分。

## 结论

通过 Monte Carlo 模拟，我们在  $L = 4, T = 1$  情况下的平衡能量结果与精确解高度一致，验证了代码实现和接受概率设计的正确性。

## 问题四 计算 $L = 8, 16, 32$ 随着温度变化的关系

### 问题描述

模拟二维 Ising 模型在不同系统尺寸下 ( $L = 8, 16, 32$ ) 的平衡态性质，研究以下三个物理量随温度  $T \in [1.5, 3.0]$  (间距 0.1) 的变化关系：

- 磁化强度平方： $\langle m^2 \rangle = \frac{\langle M^2 \rangle}{N^2}$
- 比热容： $c = \frac{1}{T^2 N} (\langle E^2 \rangle - \langle E \rangle^2)$
- 磁化率： $\chi = \frac{1}{TN} (\langle M^2 \rangle - \langle |M| \rangle^2)$

其中：

- $N = L^2$  是总自旋数；
- $E$  是总能量， $M = \sum \sigma_i$  是总磁化强度；

- 所有平均值是对平衡态配置的采样均值。

## 模拟方法

我们使用 Metropolis 算法进行模拟：

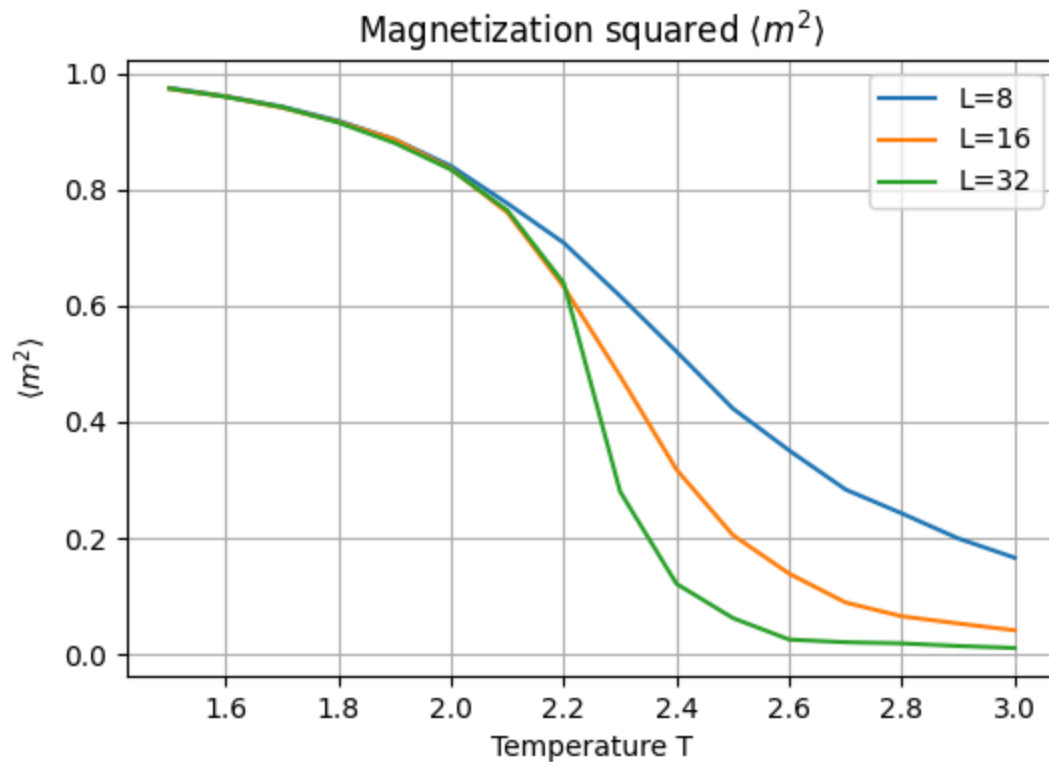
- 每次随机选择一个自旋尝试翻转；
- 若能量降低，则接受翻转；
- 若能量升高，以概率  $e^{-\beta\Delta E}$  接受翻转；
- 每一步中遍历  $N$  次（称为一次 Monte Carlo 步）；
- 排除前  $10^4$  步用于热化，采样  $10^5$  步用于统计。

周期性边界条件（PBC）被用于模拟无穷大晶格。

## 模拟结果

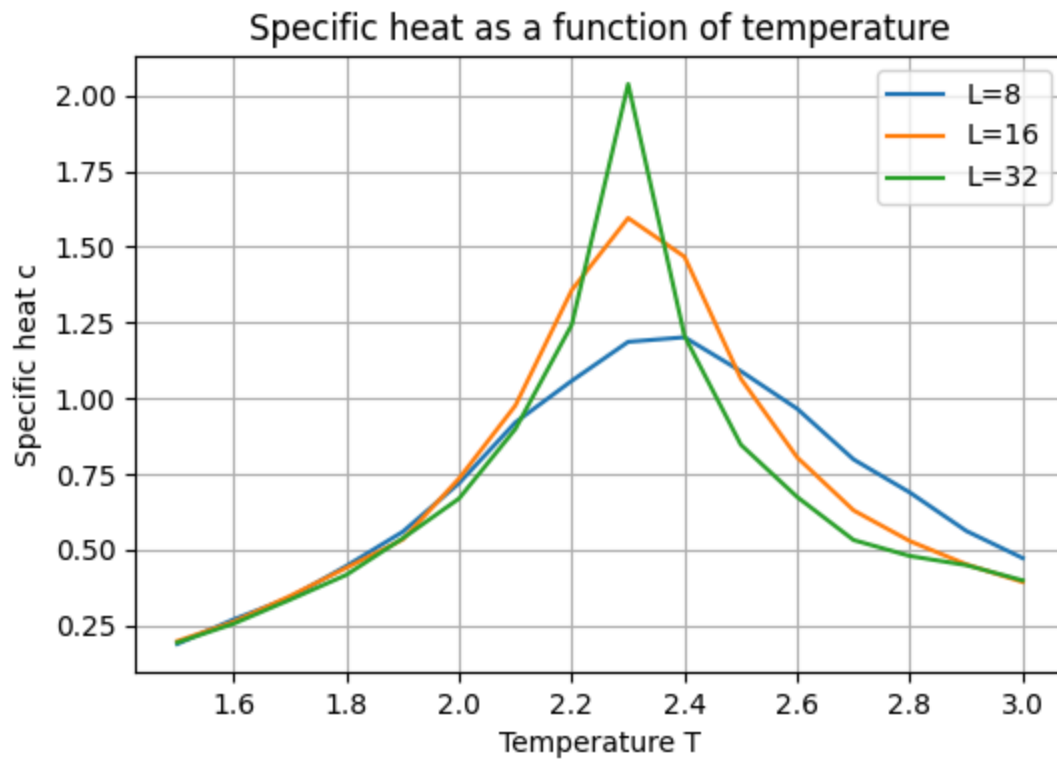
### 磁化强度平方 $\langle m^2 \rangle$

随着温度升高，系统从自发有序（高磁化）状态进入无序（低磁化）状态。在临界温度附近（约  $T_c \approx 2.27$ ），磁化强度平方急剧下降，且尺寸越大，变化越陡。



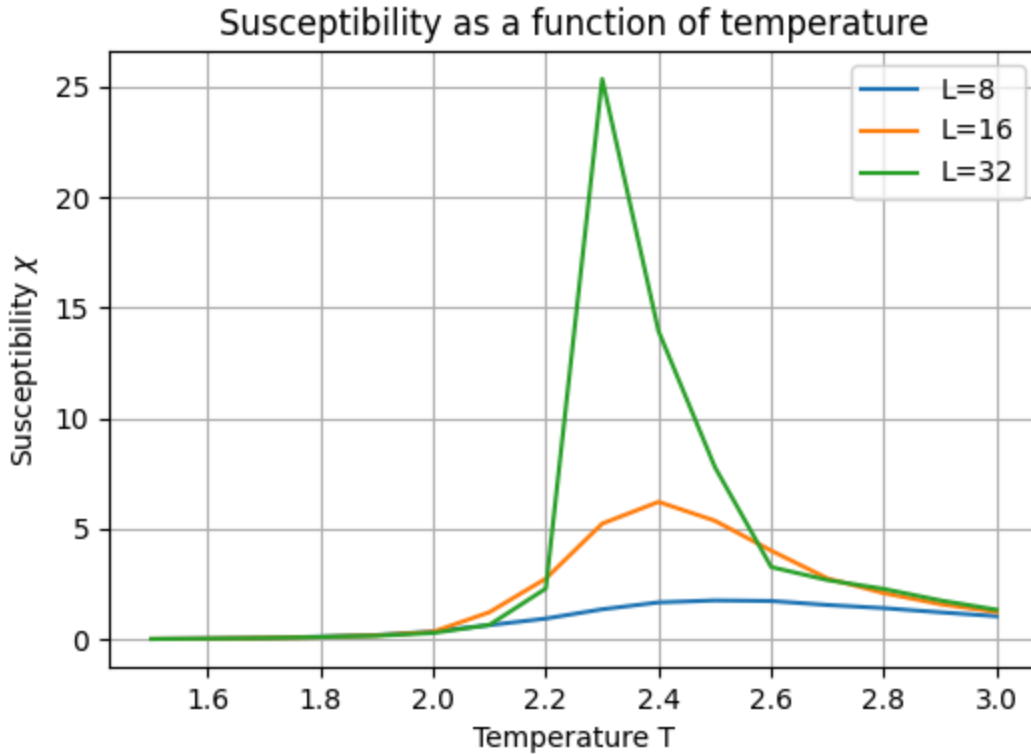
## 比热容 $c$

比热容在临界点附近表现为尖峰，且系统越大，峰值越高。这是热容在临界点发散的前兆，符合统计物理中二阶相变的行为。



## 磁化率 $\chi$

磁化率描述系统对外磁场的响应程度，也在临界点附近出现峰值。系统越大，峰值越尖锐，表明系统趋向连续相变的热力学极限行为。



## 结论与分析

1. 三个物理量都在临界点  $T_c \approx 2.27$  附近发生剧烈变化，标志着二维 Ising 模型的热相变。
2. 随着系统尺寸  $L$  增大，峰值变得更尖锐，且靠近理论临界点，说明有限尺寸标度行为显现。
3. 模拟结果验证了 Metropolis 算法的有效性及其对临界现象的刻画能力。

## B. 弛豫动力学

仍然考虑 (A) 中的模型，固定更新算法为：

- 每次更新在晶格上随机选取一个格点，尝试进行标准的 Metropolis 更新。
- 每随机尝试更新  $L^2$  次定义为一个蒙卡步。  
初始化无穷高温的系统，并取临界逆温度

$$\beta_c = \frac{1}{2} \ln(1 + \sqrt{2})$$

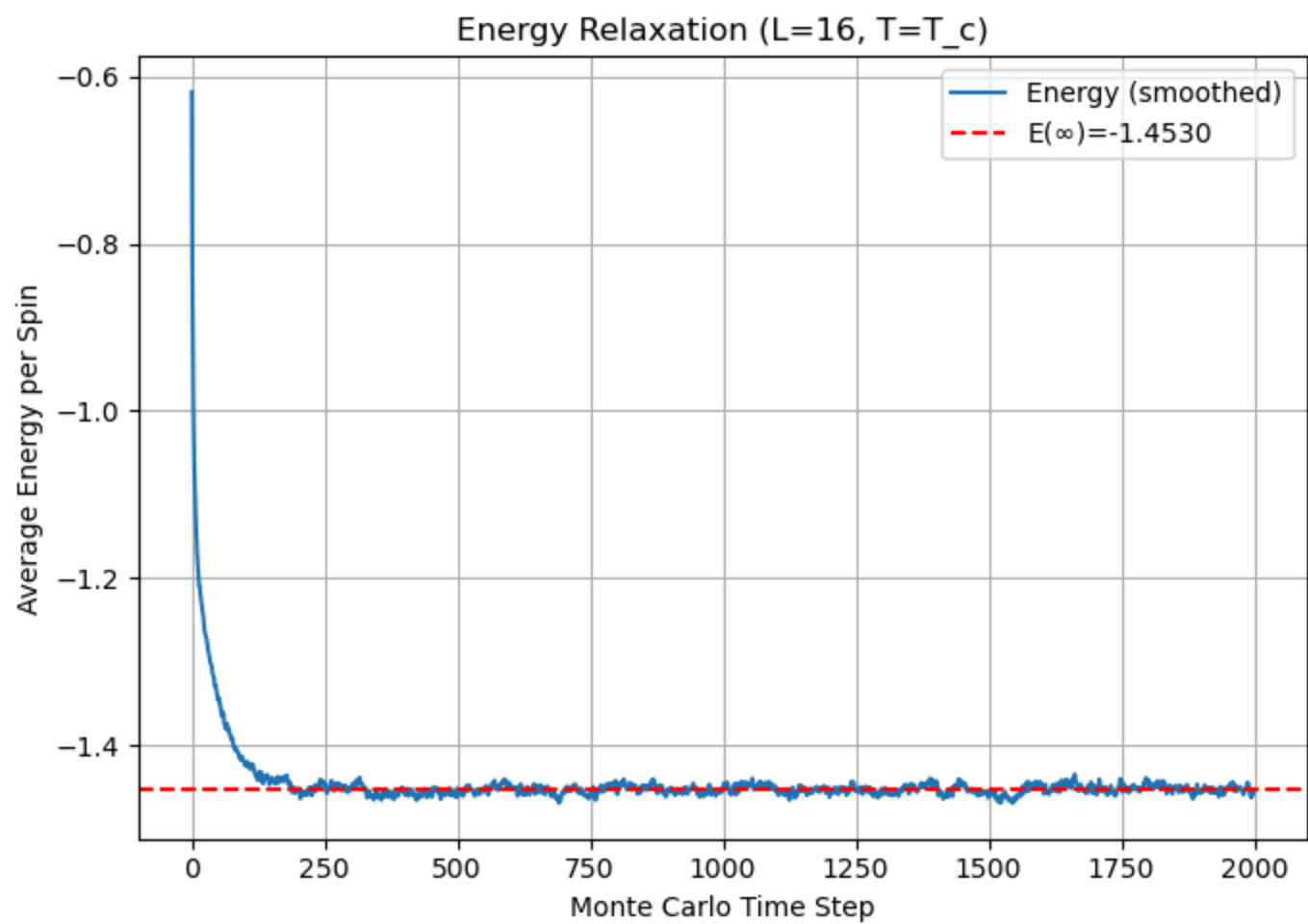
进行演化。计算系统的平均能量  $\langle E(t) \rangle$ 。其中  $t$  是蒙卡时间步。

### 问题1： $L = 16$ 时的能量演化过程

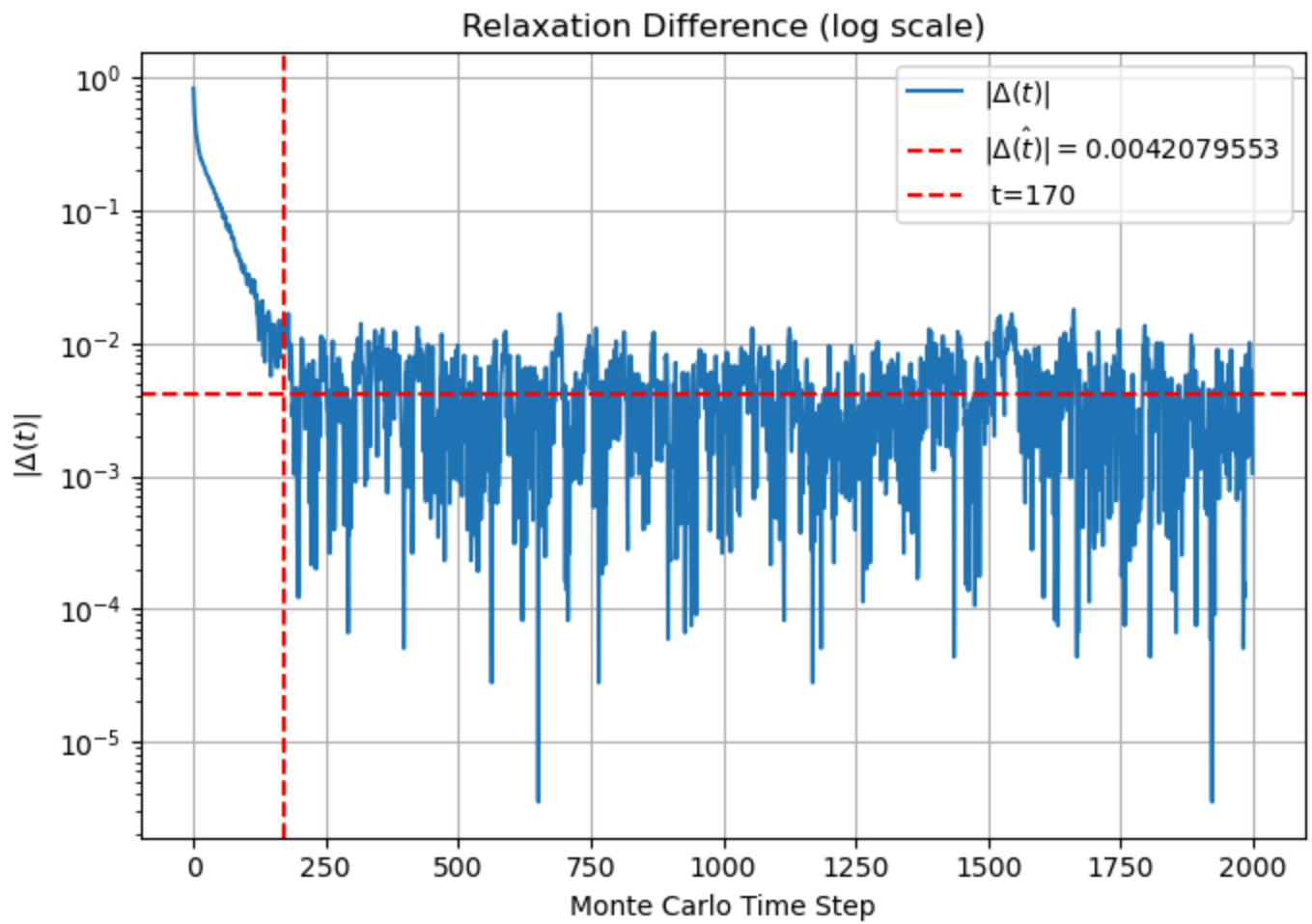
我们模拟系统在临界温度下从无序初态演化，记录能量的时间序列，并观察能否弛豫到稳定状态。



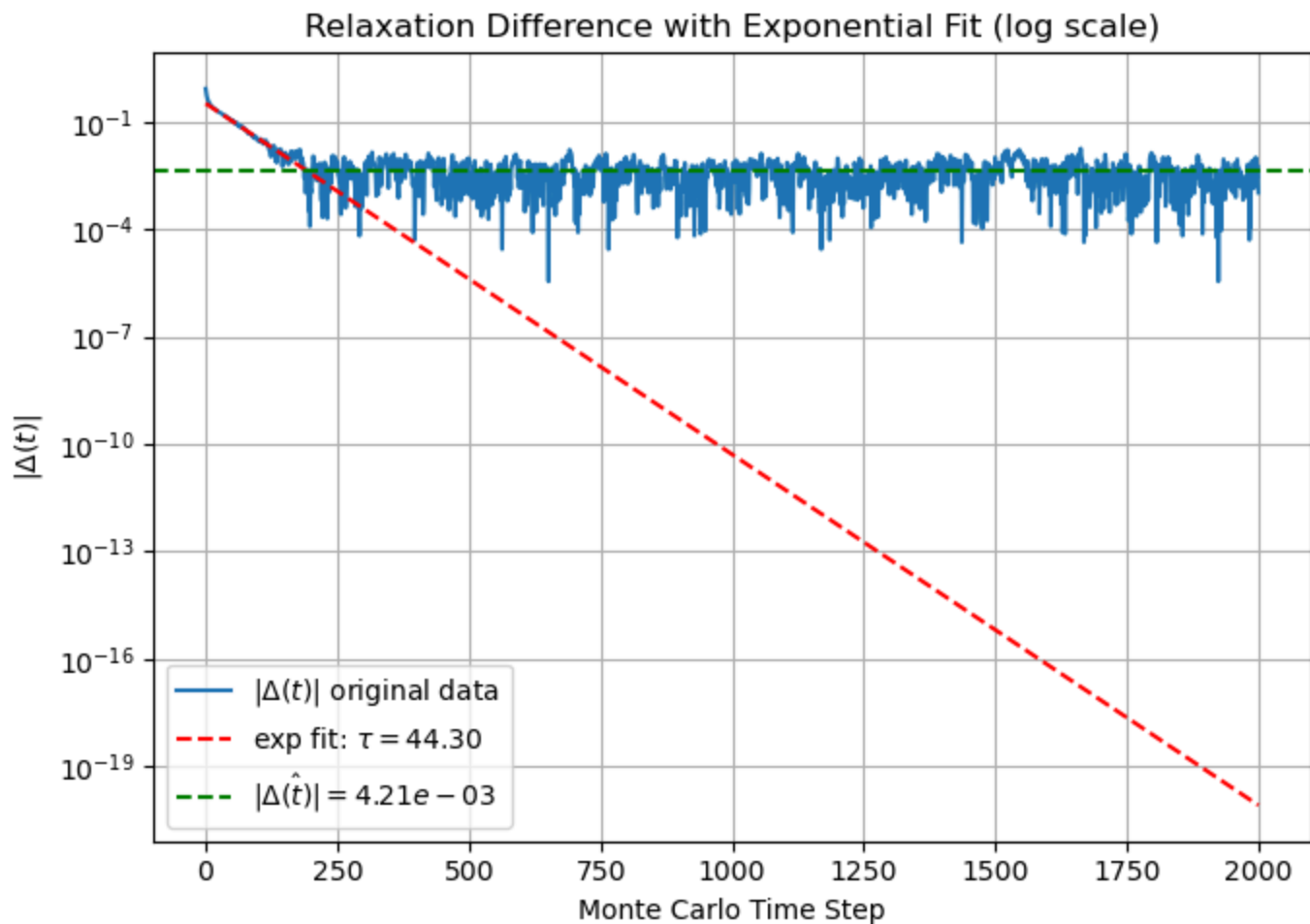
采集1000个系综平均，并计算能量随时间的变化关系。



为了进一步探究经过多久可以弛豫到稳定状态，我们可以计算能量的标准差  $\sigma_E$ ，并观察其随时间的变化。

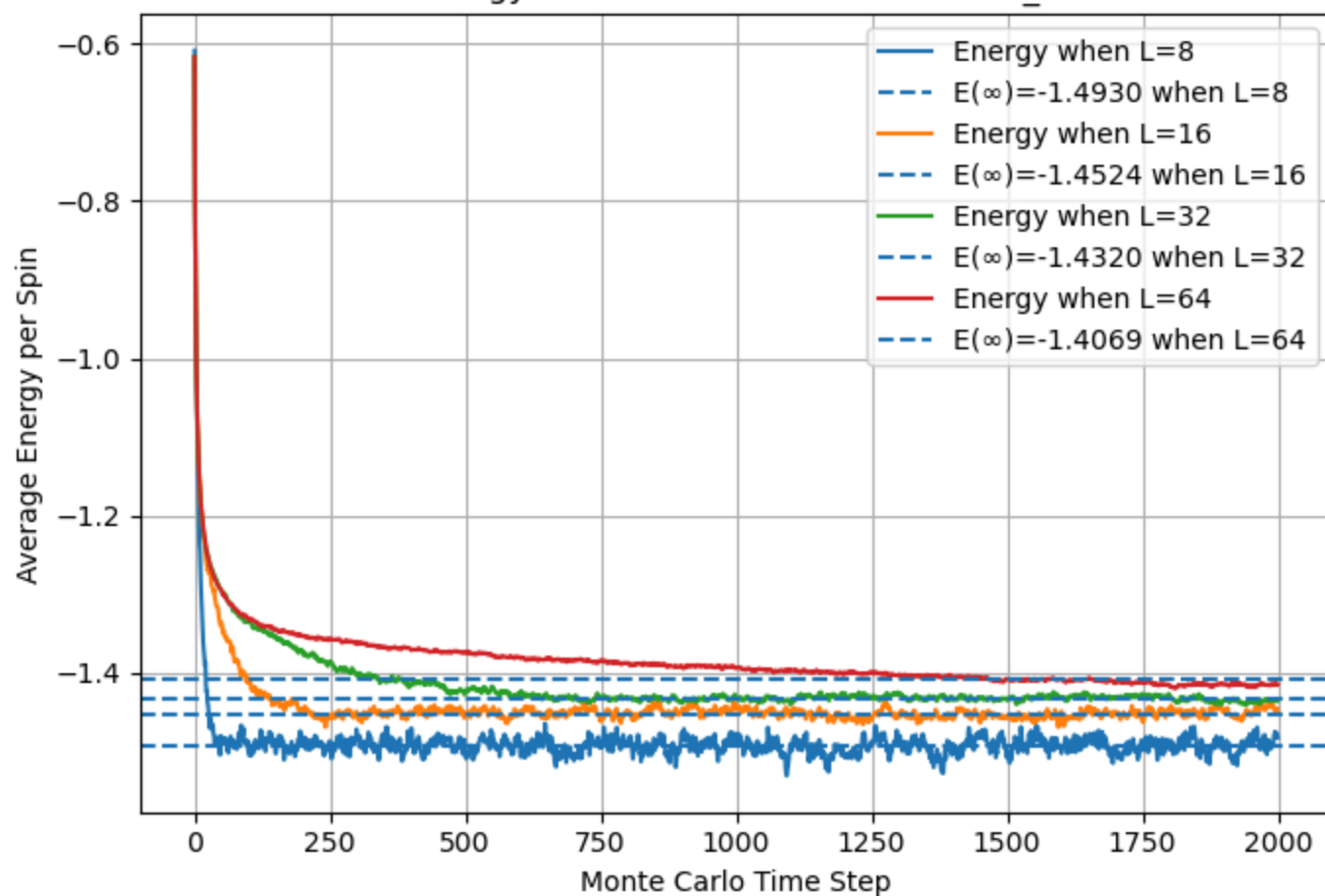


进行指数拟合：  
间的变化。

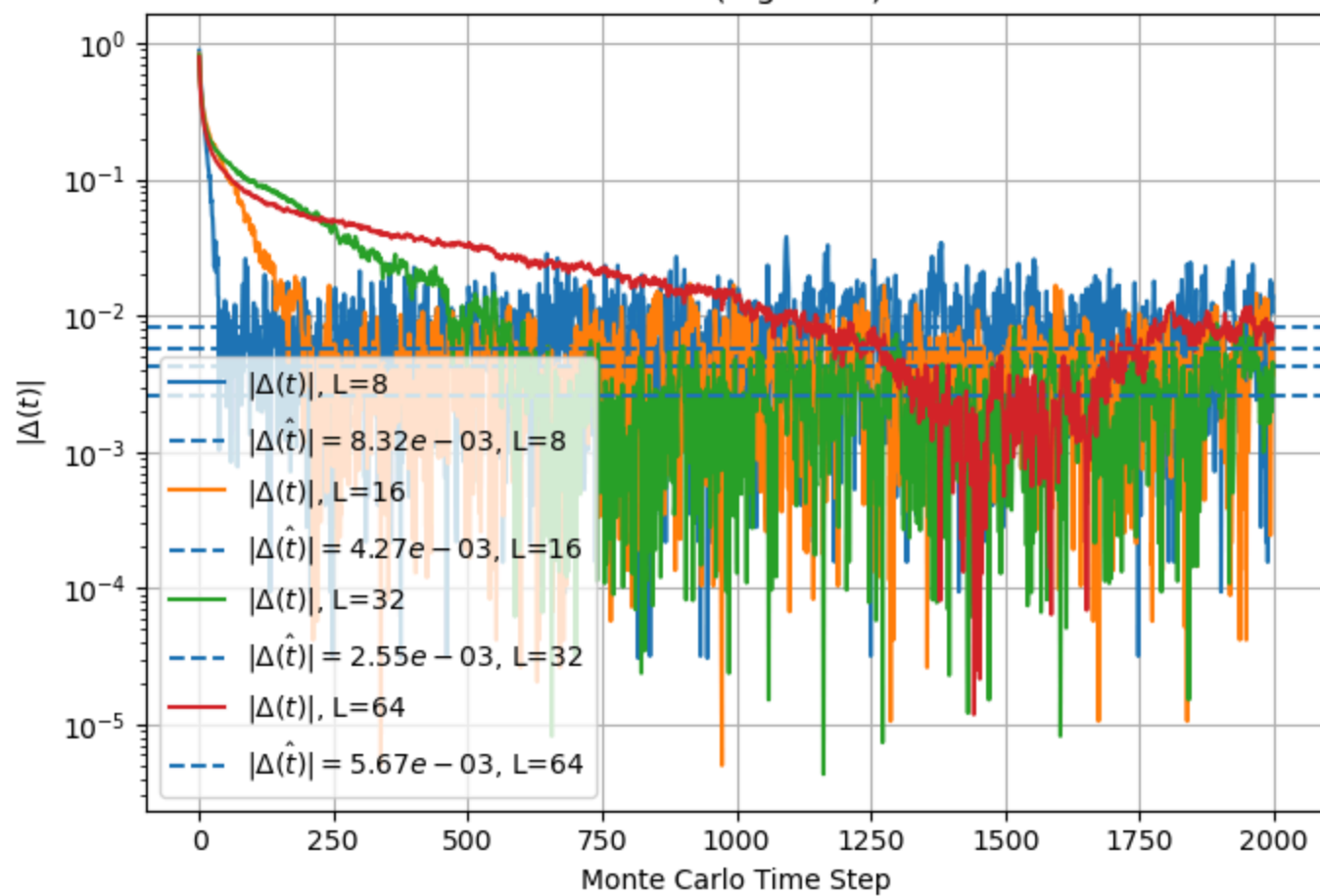


2. 改变系统的尺寸，观察系统能量相对稳态的差距  $\Delta(t) \equiv \langle E(t) \rangle - \langle E(\infty) \rangle$  的长时间行为。你发现了什么规律？系统尺寸对这个规律有怎样的影响？临界温度在这个问题中可能有什么意义（3分） hint: 谨慎地确定  $\langle E(\infty) \rangle$ 。

Energy Relaxation for Different L at  $T_c$



Relaxation Difference (log scale) for Different L



# 附录

## A.L=4 能量

```
import numpy as np
import matplotlib.pyplot as plt
import os

L = 4
T = 1.0
beta = 1 / T
J = 1
n_steps = 550000
burn_in = 450000

def initial_config(L):
    return np.random.choice([-1, 1], size=(L, L))

def calc_energy(config):
    energy = 0
    for i in range(L):
        for j in range(L):
            S = config[i, j]
            neighbors = config[(i+1)%L, j] + config[i, (j+1)%L] + config[(i-1)%L, j] + config[i, (j-1)%L]
            energy -= J * S * neighbors / 2
    return energy

def metropolis_step(config, beta):
    for _ in range(L*L):
        i = np.random.randint(0, L)
        j = np.random.randint(0, L)
        S = config[i, j]
        neighbors = config[(i+1)%L, j] + config[i, (j+1)%L] + config[(i-1)%L, j] + config[i, (j-1)%L]
        dE = 2 * J * S * neighbors
        if dE <= 0 or np.random.rand() < np.exp(-beta * dE):
            config[i, j] *= -1
    return config

def run_simulation():
    config = initial_config(L)
    energies = []
```

```

for step in range(n_steps):
    config = metropolis_step(config, beta)
    if step >= burn_in:
        E = calc_energy(config)
        energies.append(E)

return np.array(energies)

if __name__ == "__main__":
    os.makedirs("./images", exist_ok=True)
    energies = run_simulation()
    avg_energy = np.mean(energies)
    print(f"Average Energy (L=4, T=1): {avg_energy:.4f}")

    plt.plot(energies)
    plt.xlabel("MC steps")
    plt.ylabel("Energy")
    plt.title("L=4, T=1 Ising energy change over time")
    plt.grid(True)
    plt.savefig("./images/energy_L4_T1.png")
    plt.show()

```

## 第四问 `utils.py`

```
import numpy as np

def initialize_lattice(L):
    """
    初始化 L x L 的 Ising 模型格子，自旋取值 +1 或 -1
    """
    return 2 * np.random.randint(2, size=(L, L)) - 1

def calculate_energy(lattice, J=1):
    """
    计算当前格子的总能量，周期性边界条件
    """
    L = lattice.shape[0]
    energy = 0
    for i in range(L):
        for j in range(L):
            S = lattice[i, j]
            neighbors = (
                lattice[(i + 1) % L, j] + lattice[i, (j + 1) % L]
                + lattice[(i - 1) % L, j] + lattice[i, (j - 1) % L]
            )
            energy -= J * S * neighbors
    return energy / 2 # 每对交互计算两次，故除以 2

def calculate_magnetization(lattice):
    """
    计算当前格子的总磁化强度
    """
    return np.sum(lattice)

def metropolis_step(lattice, beta, J=1):
    """
    在格子上执行一次 Metropolis 更新
    """
    L = lattice.shape[0]
    i, j = np.random.randint(L), np.random.randint(L)
    S = lattice[i, j]
    neighbors = (
```



```
        lattice[(i + 1) % L, j] + lattice[i, (j + 1) % L]
        + lattice[(i - 1) % L, j] + lattice[i, (j - 1) % L]
    )
    dE = 2 * J * S * neighbors
    if dE <= 0 or np.random.rand() < np.exp(-beta * dE):
        lattice[i, j] = -S
    return lattice
```

## 第四问 ising.py

```
import os
import numpy as np
import matplotlib.pyplot as plt
from utils import initialize_lattice, calculate_energy, calculate_magnetization, metropolis_step

def run_simulation(L, T, n_eq=10000, n_meas=100000):
    """
    对 L x L 格子在温度 T 下进行 MCMC 模拟，返回能量和磁化强度统计
    """
    beta = 1.0 / T
    lattice = initialize_lattice(L)
    # 平衡热化
    for _ in range(n_eq):
        lattice = metropolis_step(lattice, beta)
    # 测量
    E_list, M_list = [], []
    for _ in range(n_meas):
        lattice = metropolis_step(lattice, beta)
        E_list.append(calculate_energy(lattice))
        M_list.append(calculate_magnetization(lattice))
    return np.array(E_list), np.array(M_list)

def plot_observables(T_list, L_list):
    os.makedirs("images", exist_ok=True)
    # Plot 1: Magnetization squared
    plt.figure(figsize=(6,4))
    for L in L_list:
        m2_all = []
        for T in T_list:
            E, M = run_simulation(L, T)
            N = L * L
            m2_all.append(np.mean(M**2) / N**2)
        plt.plot(T_list, m2_all, label=f"L={L}")
    plt.xlabel("Temperature T")
    plt.ylabel(r"$\langle m^2 \rangle$")
    plt.title(r"Magnetization squared $\langle m^2 \rangle$")
    plt.legend()
    plt.grid(True)
    plt.savefig("./images/magnetization_squared.png")
    plt.close()
```

```

# Plot 2: Specific heat
plt.figure(figsize=(6,4))
for L in L_list:
    c_all = []
    for T in T_list:
        E, M = run_simulation(L, T)
        N = L * L
        beta = 1.0 / T
        c_all.append(beta**2 * (np.mean(E**2) - np.mean(E)**2) / N)
    plt.plot(T_list, c_all, label=f"L={L}")
plt.xlabel("Temperature T")
plt.ylabel("Specific heat c")
plt.title("Specific heat as a function of temperature")
plt.legend()
plt.grid(True)
plt.savefig("./images/specific_heat.png")
plt.close()

```

```

# Plot 3: Susceptibility
plt.figure(figsize=(6,4))
for L in L_list:
    chi_all = []
    for T in T_list:
        E, M = run_simulation(L, T)
        N = L * L
        beta = 1.0 / T
        chi_all.append(beta * (np.mean(M**2) - np.mean(np.abs(M))**2) / N)
    plt.plot(T_list, chi_all, label=f"L={L}")
plt.xlabel("Temperature T")
plt.ylabel(r"Susceptibility $\chi$")
plt.title("Susceptibility as a function of temperature")
plt.legend()
plt.grid(True)
plt.savefig("./images/susceptibility.png")
plt.close()

```

```

if __name__ == '__main__':
    T_list = np.arange(1.5, 3.1, 0.1)
    L_list = [8, 16, 32]
    plot_observables(T_list, L_list)

```

## B 第一问

```
import numpy as np
import matplotlib.pyplot as plt
from scipy.ndimage import uniform_filter1d
from scipy.optimize import curve_fit
from numba import njit

# 参数设置
L = 16
T = 1/(0.5 * np.log(1 + np.sqrt(2))) # 临界温度
J = 1
n_steps = 2000
n_runs = 1000
@njit
def init_lattice(L):
    return np.random.choice(np.array([-1, 1]), size=(L, L))

@njit
def calc_energy(lattice, L):
    L = lattice.shape[0]
    E = 0.0
    for i in range(L):
        for j in range(L):
            S = lattice[i, j]
            neighbors = lattice[(i+1)%L, j] + lattice[i, (j+1)%L] + \
                lattice[(i-1)%L, j] + lattice[i, (j-1)%L]
            E -= J * S * neighbors
    return E / 2 # 避免重复计算

@njit
def metropolis_step(lattice, T, L):
    L = lattice.shape[0]
    for _ in range(L * L):
        i = np.random.randint(0, L)
        j = np.random.randint(0, L)
        S = lattice[i, j]
        neighbors = lattice[(i+1)%L, j] + lattice[i, (j+1)%L] + \
            lattice[(i-1)%L, j] + lattice[i, (j-1)%L]
        dE = 2 * J * S * neighbors
        if dE <= 0 or np.random.rand() < np.exp(-dE / T):
            lattice[i, j] *= -1
    return lattice
```

```

@njit
def run_single_simulation(L, T, n_steps):
    lattice = init_lattice(L)
    energies = np.zeros(n_steps)
    for t in range(n_steps):
        lattice = metropolis_step(lattice, T, L)
        energies[t] = calc_energy(lattice, L) / L**2
    return energies

def run_multiple_simulations(L):
    all_energies = []
    for run in range(n_runs):
        print(f"Running simulation {run+1}/{n_runs}")
        energies = run_single_simulation(L, T, n_steps)
        all_energies.append(energies)
    all_energies = np.array(all_energies)
    mean_energies = np.mean(all_energies, axis=0)
    return mean_energies

def power_law(t, a, b, c):
    return a * t**b+c

def exp_decay(t, a, tau):
    return a * np.exp(-t / tau)

def plot(energies):
    energies_smooth = uniform_filter1d(energies, size=1000)

    E_inf = np.mean(energies[-1000:])
    Delta = energies - E_inf

    plt.figure(figsize=(7,5))
    plt.plot(energies, label="Energy (smoothed)")
    plt.axhline(E_inf, color='r', linestyle='--', label=f" $E(\infty)={E\_inf:.4f}$ ")
    plt.xlabel("Monte Carlo Time Step")
    plt.ylabel("Average Energy per Spin")
    plt.title(f"Energy Relaxation (L={L}, T=T_c)")
    plt.legend()
    plt.grid()
    plt.tight_layout()
    plt.savefig("./images/energy_relaxation_smooth.png")
    plt.show()

```

```

Delta_inf = np.mean(abs(Delta[-1000:]))
t_arr = np.arange(len(Delta))
plt.figure(figsize=(7,5))
plt.semilogy(t_arr, np.abs(Delta), label=r"$|\Delta(t)|$")
plt.axhline((Delta_inf), color='r', linestyle='--', label=f"$\hat{|\Delta(t)|} = {(Delta_inf)}$")
x = 170
plt.axvline(x, color='r', linestyle='--', label=f"t={x}")
plt.xlabel("Monte Carlo Time Step")
plt.ylabel(r"$|\Delta(t)|$")
# plt.rc('text', usetex=True) # Enable LaTeX rendering for labels
plt.title("Relaxation Difference (log scale)")
plt.grid()
plt.legend()
plt.tight_layout()
plt.savefig("./images/energy_relaxation_logscale.png")
plt.show()

# mask = (t_arr < 200)
# try:
#     popt, pcov = curve_fit(power_law, t_arr[mask], np.abs(Delta[mask]), p0=(1.0, -0.5))
#     a_fit, b_fit, c_fit = popt
#     print(f"Power-law fit:  $\Delta(t) \sim t^{b\_fit:.3f}$ ")

#     plt.figure(figsize=(7,5))
#     plt.semilogy(t_arr, np.abs(Delta), label="Data")
#     plt.semilogy(t_arr, power_law(t_arr, *popt), '--', label=f"Fit:  $|\Delta(t)| \propto t^{b\_fit}$ ")
#     plt.xlabel("Monte Carlo Time Step")
#     plt.ylabel(r"$|\Delta(t)|$")
#     plt.title("Relaxation Fit (Power Law)")
#     plt.legend()
#     plt.grid()
#     plt.tight_layout()
#     plt.savefig("./images/energy_relaxation_fit.png")
#     plt.show()
# except Exception as e:
#     print(f"Fitting failed: {e}")
# --- 新增：指数衰减拟合 Delta(t) ---

# 选择拟合的时间区间
fit_start = 50 # 跳过最开始涨落剧烈部分，比如50步之后
fit_end = 1500 # 不一定要拟合到最后，可以自己调整
mask = (t_arr >= fit_start) & (t_arr <= fit_end)

```

# 使用指数衰减模型拟合

try:

```
popt, pcov = curve_fit(exp_decay, t_arr[mask], np.abs(Delta[mask]), p0=(Delta[fit_start],  
a_fit, tau_fit = popt  
print(f"exp decay:  $\Delta(t) \approx \{a\_fit:.4e\} * \exp(-t/\{tau\_fit:.2f\})$ ")
```

# 绘制拟合曲线

```
plt.figure(figsize=(7,5))  
plt.semilogy(t_arr, np.abs(Delta), label=r"$|\Delta(t)|$ original data")  
plt.semilogy(t_arr, exp_decay(t_arr, *popt), '--r', label=fr"exp fit:  $\tau = \{tau\_fit:.2f\}$ ")  
plt.axhline((Delta_inf), color='g', linestyle='--', label=f"$\hat{|\Delta(t)|} = \{(Delta\_inf)\}$")  
plt.xlabel("Monte Carlo Time Step")  
plt.ylabel(r"$|\Delta(t)|$")  
plt.title("Relaxation Difference with Exponential Fit (log scale)")  
plt.legend()  
plt.grid()  
plt.tight_layout()  
plt.savefig("./images/energy_relaxation_expfit.png")  
plt.show()
```

except Exception as e:

```
print(f"指数拟合失败: {e}")
```

def plot\_for\_diff\_L(L\_list: list) -> None:

```
energies_dict = {}
```

```
Delta_dict = {}
```

# Step 1: 跑模拟并保存数据

for L in L\_list:

```
energies = run_multiple_simulations(L)
```

```
energies_smooth = uniform_filter1d(energies, size=1000)
```

```
E_inf = np.mean(energies[-1000:])
```

```
Delta = energies - E_inf
```

```
energies_dict[L] = energies
```

```
Delta_dict[L] = Delta
```

# Step 2: 画能量随时间变化

```
plt.figure(figsize=(7,5))
```

for L in L\_list:

```
energies = energies_dict[L]
```

```

    E_inf = np.mean(energies[-1000:])
    plt.plot(energies, label=f"Energy when L={L}")
    plt.axhline(E_inf, linestyle='--', label=f" $E(\infty)={E\_inf:.4f}$  when  $L={L}$ ")

plt.xlabel("Monte Carlo Time Step")
plt.ylabel("Average Energy per Spin")
plt.title(f"Energy Relaxation for Different L at  $T_c$ ")
plt.legend()
plt.grid()
plt.tight_layout()
plt.savefig(f"./images/energy_relaxation_smooth_when_L={L_list}.png")
plt.show()

# Step 3: 画Delta随时间变化（对数坐标）
plt.figure(figsize=(7,5))
for L in L_list:
    Delta = Delta_dict[L]
    t_arr = np.arange(len(Delta))
    Delta_inf = np.mean(np.abs(Delta[-1000:]))

    plt.semilogy(t_arr, np.abs(Delta), label=rf"$|\Delta(t)|$, L={L}")
    plt.axhline(Delta_inf, linestyle='--', label=rf"$\hat{{|\Delta(t)|}}={Delta\_inf:.2e}$, L={L}")

plt.xlabel("Monte Carlo Time Step")
plt.ylabel(r"$|\Delta(t)|$")
plt.title("Relaxation Difference (log scale) for Different L")
plt.grid()
plt.legend()
plt.tight_layout()
plt.savefig(f"./images/energy_relaxation_logscale_when_L={L_list}.png")
plt.show()

if __name__ == "__main__":
    energies = run_multiple_simulations(L)
    plot(energies)
    # L_list = [8, 16, 32, 64]
    # plot_for_diff_L(L_list)

```